

Московский Физико-Технический Институт (Государственный Университет)  
Факультет Общей и Прикладной Физики

Институт Теоретической и Экспериментальной Физики  
Кафедра "Теоретическая Астрофизика и Квантовая Теория Поля"

---

Выпускная квалификационная работа на  
соискание степени магистра

## **4d калибровочные теории в сильном 2d $\Omega$ -фоне**

Выполнил студент 6 курса Сопенко Н.А.  
Научный руководитель: д.ф.-м.н. Горский А.С.

Москва, 2018

# Содержание

|     |  |    |
|-----|--|----|
| 1   | Введение   | 2  |
| 2   | Инстантонная статсумма и Бете/Калибровочное соответствие   | 4  |
| 2.1 | Инстантонная статсумма . . . . .                           | 5  |
| 2.2 | Предел Некрасова-Шаташвили . . . . .                       | 6  |
| 2.3 | Периодическая система Тоды и $U(N)$ калибровочная теория   | 8  |
| 3   | Эффективная двумерная теория поля для $U(2)$               | 10 |
| 3.1 | Уравнение Матье . . . . .                                  | 11 |
| 3.2 | Пересуммирование . . . . .                                 | 12 |
| 3.3 | Локальные модели . . . . .                                 | 13 |
| 3.4 | Стенки маргинальной стабильности вблизи разрезов . . . . . | 15 |
| 4   | Эффективная двумерная теория поля для $U(N)$               | 17 |
| 5   | Заключение   | 20 |
|     | Приложения   | 20 |
| A   | $g$ -функции для чистой $U(2)$ теории                      | 20 |

## 1 Введение

Решение Зайберга-Виттена для 4d  $\mathcal{N} = 2$  калибровочных теорий является ярким примером точного низкоэнергетического описания теории в сильной связи. Используя аналитичность, описание в области слабой связи удается продолжить в область сильной, что порой приводит к драматическим последствиям при изменении вакуума теории. Так в чистой  $SU(2)$  теории было открыто, что наивная сингулярность в пространстве вакуумов, отвечающая безмассовому  $W$ -бозону, и следующая из классического лагранжиана, расщепляется на две, приводя к тому, что при пересечении некоторой кривой маргинальной стабильности (КМС)  $W$ -бозон распадается на более легкие монополи и дион до того, как стать безмассовым.

Микроскопический вывод препотенциала был дан Некрасовым [1, 2]. Им был придуман  $\Omega$ -фон  $S^2_{\epsilon_1, \epsilon_2}$ , дающий умный способ ИК регуляризации теории, и сводящий вычисление интегралов по пространству модулей инстантонов к суммированию по (изолированным) неподвижным точкам действия некоторой группы, используя локализацию. Препотенциал Зайберга-Виттена при этом

получается как лидирующий член от логарифма статсуммы в пределе  $\epsilon_1, \epsilon_2 \rightarrow 0$ .

Решение Зайберга-Виттена тесно связано с классическими алгебраическими интегрируемыми системами [3, 4, 5, 6, 7, 8]. В частности кривая Зайберга-Виттена для заданной теории совпадает со спектрально кривой соответствующей интегрируемой системы, а пространство модулей вакуумов – с базой лиувилевского расслоения. При этом включение двумерного  $\Omega$ -фона с одним ненулевым параметром  $\epsilon_1$  приводит к квантованию интегрируемой системы, как было показано в [9, 10, 11]. Функция Янга-Янга, которая дает уравнение Бете-анзатца, при этом совпадает с твистованным суперпотенциалом эффективной  $2d \mathcal{N} = (2, 2)$ , которая получается при компактификации на  $2d \Omega$ -фон с выбранным граничным условием на бесконечности, а квантовые состояния системы отвечают вакуумам этой эффективной теории. Эффективный твистованный суперпотенциал получается как лидирующий член от логарифма статсуммы в пределе  $\epsilon_2 \rightarrow 0$ .

Интересной особенностью квантовых многочастичных систем при некотором специальном выборе квантования является наличие экспоненциально малых по  $\hbar$  щелей между разрешенными зонами энергий. Например, для чистой  $U(2)$  калибровочной теории один из типов квантования ведет к хорошо известной спектральной задаче Матье, дающей спектр частицы в периодическом  $\cos$ -потенциале. Наличие этих щелей выглядит загадочным с точки зрения калибровочной теории. Четырехмерный  $W$ -бозон дает бесконечную башню мод в двумерии, и смотря на пертурбативную часть можно поспешно заключить, что в области щелей какая-то из мод становится безмассовой, приводя к логарифмической сингулярности в потенциале. Непертурбативная часть в свою очередь в стандартном разложении также имеет особенность в виде полюса в этой области в каждом члене разложения.

Задача данной работы описать физику происходящего вблизи этих щелей. Будет показано, что после процедуры пересуммирования непертурбативного препотенциала и комбинирования с пертурбативным, наивные логарифмические сингулярности исчезают, а вместо них появляются разрезы. Это приводит к тому, что  $W$ -бозонная мода распадается на более легкие частицы до того, как стать безмассовой, аналогично судьбе  $W$ -бозона в  $4d$  теории, который распадается на монополь и дион в области сильной связи. Легким частицам в нашем случае отвечают солитоны между вакуумами, которые отвечают состояниям по разные стороны от щели.

Твистованный суперпотенциал для локального описания, как мы увидим, оказывается знакомым. Для  $U(2)$  калибровочной теории он отвечает суперпотенциалу  $CP^1$  сигма-модели с твистованными массами, пропорциональными  $\sim (2a - \hbar)$ . Это совпадение позволяет нам сразу описать БПС спектр легких частиц, зная спектр  $CP^1$  модели [12, 13]. Мы также приведем аргументы,

что для  $U(N)$  соответствующие локальные модели отвечают сигма-моделям на пространства флагов.

В литературе имеется несколько работ, так или иначе обращающихся к вопросу сингулярностей в твистованном суперпотенциале. В [14] процедура пересуммирования, используемая в этой работе, также была использована для конечно-зонных  $\mathcal{N} = 2^* U(2)$  калибровочных теорий. Сама эта процедура, известная в математической литературе под названием трансасимптотического согласования, в более общем случае описана в [15]. В [16] обсуждалась статсумма полу-БПС поверхностных дефектов рядом с сингулярностями. Важно также отметить [17], где уравнение Матье рассматривалось как мини-суперпространственное приближение для теории синус-Гордона на цилиндре. Отсутствие наивных сингулярностей в плоскости квази-импульса при этом имело следующую интерпретацию. Квази-импульс отвечал эффективному постоянному электрическому полю для солитонов, и возникновения разрывов вместо наивных логарифмических сингулярностей отвечало швингеровскому процессу.

Данная работа основана на [18] и организована следующим образом:

В **разделе 2** мы дадим краткий обзор статсуммы Некрасова и Бете/Калибровочного соответствия, а также сформулируем решаемую проблему.

В **разделе 3** мы обсудим низко-энергетическое описание эффективной  $2d \mathcal{N} = (2, 2)$  теории, возникающей при редукции  $4d \mathcal{N} = 2 U(2)$  калибровочной теории в  $2d \Omega$ -фоне. Мы пересуммируем непертурбативный вклад в эффективный твистованный суперпотенциал и покажем, что наивные сингулярности по кулоновским параметрам превращаются в разрывы. Мы выделим локальный вклад в суперпотенциал вблизи разрыва и обсудим к каким физическим последствиям он приводит.

В **разделе 4** мы обсудим обобщение результатов предыдущего раздела на случай  $U(N)$  калибровочных теорий, а также опишем сигма-модели, возникающие в локальном описании вблизи особенностей.

## 2 Инстантонная статсумма и Бете/Калибровочное соответствие

В данном разделе мы дадим обзор Бете/Калибровочного соответствия [19, 20, 21, 9, 10, 11] и сформулируем решаемую проблему. Во всей работе мы рассматриваем лишь теории с калибровочной группой  $U(N)$ .

## 2.1 Инстантонная статсумма

Во-первых, напомним определение статсуммы Некрасова [1, 2] для четырехмерной  $U(N)$  калибровочной теории в  $\Omega$ -фоне  $\mathbf{C}_{\epsilon, \hbar}^2$ .

Пусть  $\mathbf{a}$  обозначает набор комплексных скаляров, параметризующих пространство модулей вакуумов,  $\mathbf{m}$  – набор масс для мультиплетов материи в фундаментальном представлении,  $\Lambda^{2N}$  – сгенерированный при размерной трансмутации масштаб, который является производящим параметром в статсумме по числу инстантонов.

Полная статсумма Некрасова имеет пертурбативный и непертурбативный вклад

$$Z(\mathbf{a}, \mathbf{m}, \Lambda; \epsilon, \hbar) = Z^{pert.}(\mathbf{a}, \mathbf{m}, \Lambda; \epsilon, \hbar) \times Z^{inst.}(\mathbf{a}, \mathbf{m}, \Lambda; \epsilon, \hbar) \quad (2.1)$$

Непертурбативный вклад, который можно вычислить используя эквивариантную локализацию на пространстве модулей инстантонов, описывается следующим образом. Определим

$$\mathcal{V}_\lambda = \sum_{i=1}^N \sum_{(r,s) \in \lambda_i} e^{a_i + (r-1)\epsilon + (s-1)\hbar}, \quad \mathcal{W} = \sum_{i=1}^N e^{a_i}, \quad \mathcal{M} = \sum_{i=1}^{N_f} e^{m_i} \quad (2.2)$$

$$\mathcal{T}_\lambda = -\mathcal{M}\mathcal{V}_\lambda^* + \mathcal{W}\mathcal{V}_\lambda^* + e^{\epsilon+\hbar}\mathcal{V}_\lambda\mathcal{W}^* - (1-e^\epsilon)(1-e^\hbar)\mathcal{V}_\lambda\mathcal{V}_\lambda^* \quad (2.3)$$

Параметры  $\epsilon$ ,  $\hbar$ ,  $\mathbf{a}$  отвечают эквивариантным параметрам для действия пространственных вращений в двух действительных плоскостях  $\mathbf{C}^2$  и для действия максимального тора  $U(N)$  глобальной внутренней симметрии, соответственно. Сами выражения являются характеристиками слоев некоторых естественных расслоений на пространстве модулей инстантонов в фиксированных точках действия группы, параметризованных набором  $N$  диаграмм Юнга  $\{\lambda_i\}$ . В частности  $\mathcal{T}_\lambda$  отвечает касательному расслоению. Операция  $*$  меняет знак весов в характере:

$$\left( \sum_a e^{w_a} \right)^* = \sum_a e^{-w_a} \quad (2.4)$$

Тогда инстантонная статсумма имеет следующий вид

$$Z^{inst.}(\mathbf{a}, \mathbf{m}, \Lambda; \epsilon, \hbar) = \sum_{\{\lambda\}} \Lambda^{2N|\lambda|} \varepsilon(\mathcal{T}_\lambda) \quad (2.5)$$

где

$$\varepsilon\left(\sum_a e^{w_a} - \sum_b e^{w_b}\right) = \frac{\prod_b w_b}{\prod_a w_a} \quad (2.6)$$

символ, конвертирующий сумму характеров в произведение весов.

Пертурбативная часть имеет неоднозначность связанную с выбором граничных условий на бесконечности [22]. Она может быть записана как

$$Z^{pert.}(\mathbf{a}, \mathbf{m}, \Lambda; \epsilon, \hbar) = \Lambda^{-\frac{N}{\epsilon\hbar} \sum_{i=1}^N a_i^2} \epsilon \left( \frac{e^{\epsilon+\hbar}(\mathcal{M}\mathcal{W}^* - \mathcal{W}\mathcal{W}^*)}{(1-e^\epsilon)(1-e^\hbar)} \right) \quad (2.7)$$

но из-за того, что в фигурирующем характере имеется бесконечно много членов, это выражение необходимо регуляризовать. Первый член возникает от древесного вклада в статсумму, в то время как первый и второй члены в характере отвечают одно-петлевым вкладом мультиплетов материи и  $W$ -бозонов, соответственно.

Заметим, что пертурбативный вклад зависит от параметра инстантонного счета, т.к. он определяет бегущую константу связи  $\tau$ .

## 2.2 Предел Некрасова-Шаташвили

Низко-энергетическое описание недеформированной  $\Omega$ -фоном четырехмерной теории характеризуется препотенциалом, который получается пределом логарифма деформированной статсуммы

$$\mathcal{F}(\mathbf{a}, \mathbf{m}, \Lambda) = \lim_{\epsilon, \hbar \rightarrow 0} \epsilon \hbar \log Z(\mathbf{a}, \mathbf{m}, \Lambda; \epsilon, \hbar) \quad (2.8)$$

Известно, что он связан с некоторой классической интегрируемой системой [3, 5]. В частности, пространство модулей вакуумов калибровочной теории совпадает с базой лиувилевского расслоения для соответствующей системы. Для класса колчаных калибровочных теорий соответствующие интегрируемые системы были найдены в [23].

В [11] была предложена деформация этого соответствия, которая ставит в соответствие двумерной эффективной теории, возникающей в пределе  $\epsilon \rightarrow 0$ , квантовую алгебраическую интегрируемую систему, в которой  $\hbar$  играет роль параметра квантования.

Более точно, мы рассматриваем калибровочную теорию на  $\mathbb{C} \times \mathbf{D}_\hbar$ , где  $\mathbf{D}_\hbar$  - сигароподобная геометрия [24]

$$ds^2 = dr^2 + f(r)d\theta^2, 0 \leq \theta \leq 2\pi, 0 \leq r < \infty \quad (2.9)$$

$f(r) \sim r^2$  при  $r \rightarrow 0$  и  $f(r) \sim const$  при  $r \rightarrow \infty$ , с включенным  $\Omega$ -фоном. После процедуры твистования, необходимой для сохранения части суперсимметрии, данная геометрия нарушает половину исходной суперсимметрии. После выбора граничных условий на  $\mathbb{C} \times \partial\mathbf{D}_\hbar = \mathbb{C} \times S^1$ , сохраняющих

оставшуюся суперсимметрию, мы можем компактифицировать нашу четырехмерную теорию на сигару и получить двумерную  $\mathcal{N} = (2, 2)$  теорию на  $\mathbb{C}$ , низко-энергетическое описание которой характеризуется эффективным твистованным суперпотенциалом

$$\mathcal{W}(\mathbf{a}, \mathbf{m}, \Lambda; \hbar) = \lim_{\epsilon \rightarrow 0} \epsilon \log Z(\mathbf{a}, \mathbf{m}, \Lambda; \hbar) \quad (2.10)$$

Пертурбативный вклад имеет вид

$$\begin{aligned} \mathcal{W}^{pert.}(\mathbf{a}, \mathbf{m}, \Lambda; \hbar) &= \lim_{\epsilon \rightarrow 0} \epsilon \log Z^{pert.}(\mathbf{a}, \mathbf{m}, \Lambda; \epsilon, \hbar) = \\ &= -\frac{1}{2\hbar} \log \left( \frac{\Lambda^{2N}}{\hbar^{2N}} \right) \sum_{i=1}^N a_i^2 + \sum_{i,j=1}^N \varpi_{\hbar}(a_i - a_j) - \sum_{i=1}^N \sum_{a=1}^{N_f} \varpi_{\hbar}(a_i - m_a) \end{aligned} \quad (2.11)$$

где  $\varpi_{\hbar}(x)$  определяется как

$$\frac{d}{dx} \varpi_{\hbar}(x) = \log \Gamma \left( 1 + \frac{x}{\hbar} \right) = const. - \sum_{n=1}^{\infty} \log \left( \frac{x + n\hbar}{\hbar} \right) \quad (2.12)$$

Одно-петлевой вклад  $\varpi_{\hbar}(m)$  возникает как вклад в эффективный твистованный суперпотенциал от бесконечного числа мод, имеющих различный угловой момент в плоскости деформации, с параметрами массы  $(m + n\hbar)$  для  $n$ -ой моды. Каждая мода дает киральный мультиплет в двумерной теории, отынтегрировав который мы имеем <sup>1</sup>

$$\Delta \mathcal{W}_n = -(m + n\hbar) \left[ \log \left( \frac{m + n\hbar}{\hbar} \right) - 1 \right] \quad (2.13)$$

После суммирования по  $n$  мы получим  $\varpi_{\hbar}(m)$ .

Если все параметры находятся в общем положении, то, вообще говоря, наша двумерная теория имеет бесконечно много локальных степеней свободы. Однако, все эти степени свободы градуированы по угловому моменту, и каждая единица углового момента добавляет  $\hbar$  к массовому параметру данной степени свободы. Это аналогично тому, как при компактификации теории поля на окружность возникает башня Калуца-Клейновских мод, при этом параметр  $\hbar$  играет роль обратного радиуса окружности.

В нашей системе имеется два естественных выбора граничных условий на бесконечности

$$\text{Type A : } \frac{a_i^D}{\hbar} = \frac{\partial \mathcal{W}(\mathbf{a}, \mathbf{m}, \Lambda; \hbar)}{\partial a_i} \in \mathbf{Z} \quad (2.14)$$

<sup>1</sup>Мы используем  $\hbar$  в качестве размерного параметра 2d теории, характеризующего масштаб

$$\text{Type } B : \quad \frac{a_i}{\hbar} \in \mathbf{Z} + \frac{\theta_i}{2\pi}, \quad \theta \in [0, 2\pi) \quad (2.15)$$

Тип  $A$  отвечает Неймановским граничным условиям для калибровочных полей, что приводит к динамическому векторному мультиплету в двумерии. Тип  $B$  в свою очередь отвечает граничным условиям Дирихле, которые фиксируют голономию вдоль границы сигары, параметризуемую  $\theta_i$ , и замораживают калибровочные степени свободы.<sup>2</sup> Выбор граничных условий задает выбор квантования алгебраической интегрируемой системы.

Бете/Калибровочное соответствие утверждает, что вакуумы эффективной двумерной теории находятся во взаимно-однозначном соответствии с собственными состояниями гамильтонианов квантовой интегрируемой системы. Более того, средние вакуумные значения топологически-защищенных киральных наблюдаемых в данном вакууме, которыми являются следы степеней скаляра векторного мультиплета 4d калибровочной теории  $\text{Tr } \Phi^k$ , совпадают с собственными значениями гамильтонианов  $\mathcal{H}_k$  для соответствующего этому вакууму собственного состояния

$$\langle vac | \mathcal{H}_k | vac \rangle \longleftrightarrow \langle \text{Tr } \Phi^k \rangle_{vac}. \quad (2.16)$$

В данной работе нас будет преимущественно интересовать периодическая  $A_{N-1}$  цепочка Тоды.

### 2.3 Периодическая система Тоды и $U(N)$ калибровочная теория

(Комплексифицированная) периодическая цепочка Тоды – это интегрируемая система  $N$  нерелятивистских частиц взаимодействующих с потенциалом

$$V(x_1, \dots, x_N) = \Lambda^2 \sum_{i=1}^N e^{x_i - x_{i+1}}, \quad x_{N+1} = x_1$$

где  $x_i \in \mathbf{C}/(2\pi\mathbf{Z})$  – координаты, а  $p_i \in \mathbf{C}$  – импульсы частиц. Коммутирующие гамильтонианы защиты в уравнении спектральной кривой

$$\det(x - L(w)) = x^N + H_1 x^{N-1} + H_2 x^{N-2} + \dots + H_N - \Lambda^N (z + z^{-1}) = 0 \quad (2.17)$$

<sup>2</sup>Можно рассматривать и более общие граничные условия, получаемые, например, калиброванием суперсимметричным образом некоторой 3d теории на  $\mathbf{C} \times \partial\mathbf{D}_{\hbar}$  используя калибровочные поля нашей теории в балке [25].

где  $L(z)$  - оператор Лакса

$$L(z) = \begin{pmatrix} p_1 & \Lambda^2 e^{x_1 - x_2} & 0 & \dots & \dots & \Lambda^N z^{-1} \\ 1 & p_2 & \Lambda^2 e^{x_2 - x_3} & \dots & \dots & 0 \\ 0 & 1 & p_3 & \Lambda^2 e^{x_3 - x_4} & \dots & 0 \\ 0 & \dots & \dots & \dots & \dots & 0 \\ 0 & \dots & \dots & \dots & p_{N-1} & \Lambda^2 e^{x_{N-1} - x_N} \\ \Lambda^{2-N} e^{x_N - x_1} z & 0 & \dots & 0 & 1 & p_N \end{pmatrix} \quad (2.18)$$

Например, первые два гамильтониана имеют вид

$$H_1 = - \sum_{i=1}^N p_i \quad (2.19)$$

$$H_2 = - \frac{1}{2} \sum_{i \neq j} p_i p_j + V(x_1, \dots, x_N) \quad (2.20)$$

Как хорошо известно, соответствующей 4d  $\mathcal{N} = 2$  калибровочной теорией для данной системы является чистая  $U(N)$  теория. В частности, кривая Зайберга-Виттена данной теории совпадает со спектральной кривой интегрируемой системы [3, 4].

При квантовании системы гамильтонианы становятся дифференциальными операторами, действующими на волновые функции  $\psi(x_1, \dots, x_N)$ , при этом  $p_i = \hbar \partial_i$ . Имеется два естественных квантования, которым в калибровочной теории отвечают граничные условия типа  $A$  и граничные условия типа  $B$  [11]. Тип  $A$  отвечает спектральной задаче  $\psi(x_1 - \bar{x}, \dots, x_N - \bar{x}) \in L^2(\mathbf{R}^{N-1})$  для  $x_i \in \mathbf{R}$ , где  $\bar{x} = \sum_i^N x_i / N$  - координата центра масс. Спектр в данной задаче дискретен и параметризуется условиями  $a_D / \hbar \in \mathbf{Z}$ .

В данной работе нас интересует квантование типа  $B$ , отвечающее  $x_i \in i\mathbf{R} / 2\pi\mathbf{Z}$  и квази-периодическим несингулярным волновым функциям

$$\psi(x_1, \dots, x_a + 2\pi i, \dots, x_N) = e^{i\theta_a} \psi(x_1, \dots, x_N) \quad (2.21)$$

Параметры квази-периодичности  $\theta_a \in [0, 2\pi)$  также известны как блоховские фазы. В частном случае  $N = 2$ , после отщепления центра масс, система сводится к поиску спектра уравнения Матье

$$- \hbar^2 \psi''(x) + 8\Lambda^2 \cos(2x) \psi(x) = 8u \psi(x) \quad (2.22)$$

где  $u = \frac{1}{4} \langle \text{Tr } \Phi^2 \rangle$ . Для действительных  $\Lambda$  и  $\hbar$  оно описывает частицу, движущуюся в периодическом  $\cos$ -потенциале. При фиксированных  $\theta$ -параметрах спектр дискретен. Когда мы меняем значения этих параметров, замечаемые спектром значения гамильтонианов организуются в зоны, разделенные

щелями. Для маленьких  $\Lambda$  между зонами имеется экспоненциально малые щели. Более точно, если  $\theta_1 = \dots = \theta_{k_1}; \theta_{k_1+1} = \dots = \theta_{k_2}; \dots; \theta_{k_m+1} = \dots = \theta_{k_N}$ , вместо наивной  $\frac{N!}{k_1!k_2!\dots k_N!}$ -вырожденности, которая имеется при  $\Lambda = 0$ , мы имеем невырожденный спектр из-за эффекта надбарьерного отражения на потенциале.

Второй тип квантования, более загадочен с точки зрения калибровочной теории. Когда  $a_{ab}/\hbar \in \mathbf{Z} \setminus \{0\}$ , некоторые пертурбативные  $W$ -бозонные моды наивно становятся безмассовыми, что проявляется в появлении логарифмических сингулярностей в их вкладе в эффективный твистованный суперпотенциал. Таким образом, наивно эффективное низко-энергетическое описание должно ломаться в данной области параметров, как было замечено в [16]. Одна из основных целей этой работы разрешить этот вопрос.

### 3 Эффективная двумерная теория поля для $U(2)$

В данном разделе мы анализируем эффективную двумерную  $\mathcal{N} = (2, 2)$  теорию, получающуюся при компактификации четырехмерной  $\mathcal{N} = 2$   $U(2)$  теории без материи на  $\Omega$ -деформированную сигару, как было описано в предыдущем разделе.

Эффективный твистованный суперпотенциал зависит от единственного комплексного параметра  $a$ , задающего вакуум, и имеет следующий вид

$$\mathcal{W}(a, \Lambda; \hbar) = \mathcal{W}^{pert.}(a, \Lambda; \hbar) - \hbar F(\nu, q) \quad (3.1)$$

$$F(\nu, q) = \sum_{k=1}^{\infty} F_k(\nu) q^{2k} \quad (3.2)$$

где мы ввели безразмерные переменные  $\nu$  и  $q$

$$\nu = \frac{2a}{\hbar}, \quad q = \frac{\Lambda^2}{\hbar^2} \quad (3.3)$$

Пертурбативный вклад  $\mathcal{W}^{pert.}$  в суперпотенциал

$$\mathcal{W}^{pert.}(a, \Lambda; \hbar) = -\frac{2a^2}{\hbar} \log\left(\frac{\Lambda^2}{\hbar^2}\right) + \varpi_{\hbar}(2a) + \varpi_{\hbar}(-2a) \quad (3.4)$$

Первые несколько членов для  $F_k(s)$  имеют вид

$$\begin{aligned} \sum_{k=1}^{\infty} F_k(\nu) q^{2k} &= \frac{2}{\nu^2 - 1} q^2 + \frac{5\nu^2 + 7}{(\nu^2 - 1)^3 (\nu^2 - 4)} q^4 + \frac{16(9\nu^4 + 58\nu^2 + 29)}{3(\nu^2 - 1)^5 (\nu^2 - 4)(\nu^2 - 9)} q^6 \\ &+ \frac{1469\nu^{10} + 9144\nu^8 - 140354\nu^6 + 64228\nu^4 + 827565\nu^2 + 274748}{2(\nu^2 - 4)^3 (\nu^2 - 1)^7 (\nu^2 - 9)(\nu^2 - 16)} q^8 + \dots \end{aligned} \quad (3.5)$$

Характерная особенность всех членов  $F_k(s)$  в том, что они имеют полюса при ненулевых целых  $s = n$  для  $-k \leq n \leq k$ . Как мы вскоре увидим, они являются лишь артефактами разложения по  $q$ .

Имеется единственный независимый киральный оператор с вакуумным значением  $u = \frac{1}{4} \langle \text{Tr } \Phi^2 \rangle$ . Это значение может быть выражено через суперпотенциал в данном вакууме используя квантовую версию соотношения Матона [26], [27], [28]

$$u = -\frac{\hbar}{8} \Lambda \frac{\partial \mathcal{W}(a, \Lambda; \hbar)}{\partial \Lambda} \quad (3.6)$$

Дуальный монополярный параметр  $a_D^M$  в нашей нормировке <sup>3</sup> имеет вид

$$a_D^M = i \frac{\hbar}{4\pi} \frac{\partial \mathcal{W}(a, \Lambda; \hbar)}{\partial a} \quad (3.7)$$

При больших  $a$ , таких что  $a \gg \Lambda$  и  $a \gg \hbar$  инстантонные поправки подавлены и используя уравнения (3.4) и (2.12) мы получаем

$$a_D^M = i \frac{2a}{\pi} \log \frac{2a}{\Lambda} + O(a) \quad (3.8)$$

так как в этом пределе  $\varpi_\hbar(x) = \frac{x^2}{2\hbar} \log \frac{x}{\hbar} + O(x)$

### 3.1 Уравнение Матье

Из вышесказанного следует, что нахождение вакуумного значения кирального оператора в различных вакуумах с граничными условиями типа  $B$  сводится к нахождению спектра уравнения Матье

$$-\psi''(x) + 8q \cos(2x)\psi(x) = \frac{8u}{\hbar^2} \psi(x) \quad (3.9)$$

с квази-периодическими условиями  $\psi(x+\pi) = e^{\pi i \nu} \psi(x)$ . Для действительных  $\Lambda$  и  $\hbar$  спектр организуется в чередующийся набор зон и щелей с экспоненциально малыми ширинами зон при  $u \approx -\Lambda^2$  и экспоненциально малыми ширинами щелей при  $u \gg \Lambda^2$ .

Т.к.  $\pi \nu$  является блоховской фазой,  $u(q, \nu)$  является периодичной функцией от  $\nu$  на действительной оси с периодом 2. Эта периодичность не видна в разложении, которое получается при подстановке (3.5) в соотношение Матона (3.6). Например, когда мы меняем  $\nu$  вдоль  $[0, 2]$  и в конце интервала

<sup>3</sup>Нормировка выбирается так, что  $a$  и  $a_D^M$  совпадают с интегралами от формы Зайберга-Виттена  $pdq = \frac{\sqrt{2}}{2\pi} \sqrt{u - \Lambda^2 \cos^2 q} dq$  по  $A$ -циклу  $[-\pi, \pi]$  и  $B$ -циклу  $[\arccos u/\Lambda^2, 2\pi - \arccos u/\Lambda^2]$

должны вернуться обратно, мы встречаем наивную сингулярность в точке  $\nu = 1$  в каждом члене разложения. Естественным объяснением периодичности является наличие разрезов вместо наивных полюсов, как показано на рисунке (1), с отождествлением разрезом вблизи  $\nu = n$  и  $\nu = -n$ , чтобы сделать ее периодичной с периодом 2. Когда мы разлагаем по  $q$  мы теряем структуру разрезом и вместо этого получаем полюса в каждом члене разложения, т.к. ширина разрезом стремится к нулю, когда  $q$  стремится к нулю. Отождествление  $\nu = n$  и  $\nu = -n$  также естественно, т.к.  $\nu$  пропорционально кулоновскому параметру  $a$ , который преобразуется под действием группы Вейля как  $a \rightarrow -a$ .

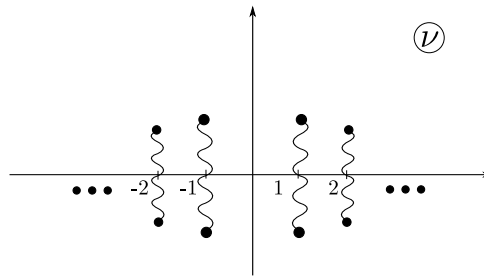


Рис. 1: На этом рисунке изображена структура разрезом функции  $u(q, \nu)$ . Каждый разрез вблизи  $\nu = n$  склеивается с разрезом вблизи  $\nu = -n$ . В результате отождествления мы получаем поверхность бесконечного рода.

### 3.2 Пересуммирование

Чтобы получить информативное разложение для  $F(\nu, q)$  вблизи разрезом, мы реорганизуем разложение по  $q$  также, как и в [14]

$$F(\nu, q) = \sum_{n>0} \sum_{k=1}^{\infty} \left[ g_k^{(n)} \left( \frac{q^n}{n - \nu} \right) + g_k^{(n)} \left( \frac{q^n}{n + \nu} \right) \right] q^{2k-2+n} \quad (3.10)$$

где  $g_k^{(n)}(z) = \mathcal{O}(z)$ , а введенная переменная  $z$

$$z = \frac{q^n}{n - \nu} \quad (3.11)$$

В чем смысл этого пересуммирования? С технической точки зрения, оно отвечает отдельному пересуммированию лидирующих сингулярностей (функция  $g_1^{(n)}$ ) от каждого инстантонного сектора, затем от сублидирующих (функция  $g_2^{(n)}$ ) и т. д. Как мы вскоре увидим,  $\log q^n$  играет роль 2d Файет-Илиопулосовского (ФИ) параметра, где  $n - \nu$  пропорционально массе легкой

W-бозонной моды. Комбинация  $\log q^n - \log(n - \nu)$  в точности отвечает 2d эффективному ФИ параметру после отынтегрирования частиц массы  $n - \nu$ . Таким образом, это разложение реорганизует 4d инстантонное разложение в двойное разложение по 2d эффективным вихрям и 4d инстантонам.

Сравнивая первые члены разложения для (3.10) и (3.5) по  $q$  легко угадать анзатц для  $g_k^{(n)}$

$$g_1^{(n)}(z) = \frac{\log\left(\frac{1}{2} + \sqrt{\frac{1}{4} + \frac{z^2}{\zeta_n^2}}\right) + 1 - \sqrt{1 + \frac{4z^2}{\zeta_n^2}}}{z} \quad (3.12)$$

для  $k = 1$  и

$$g_k^{(n)}(z) = \frac{\left(1 + \frac{4z^2}{\zeta_n^2}\right)^{\frac{5}{2}-k} Q_{2k-3}(z^2) + P_{k-1}(z^2)}{z^{2k-1}} \quad (3.13)$$

для  $k > 1$ , где  $\zeta_n = n!(n-1)!$  и  $P_m(w)$ ,  $Q_m(w)$  - некоторые полиномы степени  $m$ , свои для каждого значений  $n$  и  $k$ . Используя этот анзатц и тот факт, что  $g_k^{(n)}(z) = \mathcal{O}(z)$ , мы можем вычислять  $P$  и  $Q$  полиномы для любых заданных  $n$  и  $k$ , разлагая статсумму Некрасова до соответствующего порядка. Первые несколько  $g_k^{(n)}$ -функций приведены в приложении А.

После реорганизации разложения в таком виде мы улавливаем структуру разрезов, помня об отождествлении разрезов вблизи  $n$  и  $-n$ , как описано выше. В частности мы можем использовать это разложение для нахождения границ зон/щелей в разложении по  $q$  для  $\nu \approx n$ , используя соотношение Матона. Результат совпадает с известными выражениями (см. например [29])

$$\begin{aligned} u_0 &= \frac{\hbar^2}{8} \left( -q + \frac{7}{4}q^3 - \frac{58}{9}q^5 + \frac{68687}{2304}q^7 + \dots \right) \\ u_1^- &= \frac{\hbar^2}{8} \left( 1 - 4q - 2q^2 + q^3 - \frac{1}{6}q^4 - \frac{11}{36}q^5 + \dots \right) \\ u_1^+ &= \frac{\hbar^2}{8} \left( 1 + 4q - 2q^2 - q^3 - \frac{1}{6}q^4 + \frac{11}{36}q^5 + \dots \right) \\ &\dots \end{aligned} \quad (3.14)$$

### 3.3 Локальные модели

Попытаемся теперь описать физику происходящего вблизи разреза. Рассмотрим предел большого  $\Omega$ -фона  $\hbar \gg \Lambda$  (или  $q \ll 1$ ) вблизи первого разреза  $m = (\hbar - 2a) \rightarrow 0$ . Наивно, при больших  $\hbar$  и  $a$  инстантонные поправки

должны быть малы и важен лишь пертурбативный вклад

$$\mathcal{W}^{pert.}(a, \Lambda; \hbar) \approx -m \left[ \log \left( \frac{m}{\hbar} \right) - 1 \right] + const. \quad (3.15)$$

который есть не что иное, как  $W$ -бозонной моды с единичным угловым моментом, которая наивно становится безмассовой при  $2a = \hbar$ . Однако, посмотрев на реорганизованное разложение непертурбативного вклада мы видим, что первый лидирующий член имеет тот же порядок по  $q$ , что и пертурбативный, и

$$\begin{aligned} \mathcal{W}(a, \Lambda; \hbar) &\approx -m \left[ \log \left( \frac{m}{\hbar} \right) - 1 \right] - q\hbar g_1^{(1)} \left( \frac{q}{1-\nu} \right) + const. \\ &= -m \log \left( \frac{m + \sqrt{m^2 + \frac{4\Lambda^4}{\hbar^2}}}{2\hbar} \right) + \sqrt{m^2 + \frac{4\Lambda^4}{\hbar^2}} + const. \end{aligned} \quad (3.16)$$

Полезно рассмотреть на зеркально описание данной системы. Рассмотрим

$$\mathcal{W} = m(Y - t_{eff.}) + e^{-Y} + (\Lambda^4/\hbar^2)e^Y. \quad (3.17)$$

где  $t_{eff.} = \log(\hbar^{-1})$ . Если мы отынтегрируем поле  $Y$  мы вернемся к (3.16). Таким образом мы имеем зеркальное описание кирального мультиплета, деформированное оператором  $(\Lambda^4/\hbar^2)e^Y$ .

Можно дать физическую интерпретацию этого члена. Как хорошо известно оператор  $e^{-Y}$  отвечает оператору вихрей в зеркальном описании. Аналогично,  $e^Y$  отвечает оператору вихрей, но с отрицательным зарядом. В описании кирального мультиплета он не появляется в суперпотенциале, т.к. имеет неправильные квантовые числа. Однако, в нашей ситуации параметр  $(\Lambda^4/\hbar^2)$  также имеет квантовые числа, и в комбинации с  $e^Y$  может дать вклады в суперпотенциал вида  $(\Lambda^4/\hbar^2)^n e^{(2n-1)Y}$ . В первом ненулевом порядке по инстантонному параметру мы имеем  $(\Lambda^4/\hbar^2)e^Y$ . Появление  $\Lambda^4$ , считающего инстантонный заряд, свидетельствует о том, что вихри с отрицательным зарядом также несут инстантонный заряд, и этот заряд, собственно, и позволяет вихрям иметь отрицательный заряд.

Любопытно, что подобная деформация появляется в локальной модели поверхностного оператора кирального дублета в чистой  $SU(2)$  калибровочной теории, который получается калиброванием  $SU(2)$  глобальной симметрии 2d  $\mathcal{N} = (2, 2)$  кирального дублета на  $\mathbb{C} \subset \mathbb{C}^2$  [30]. В этом случае, эффективный твистованный суперпотенциал дефекта, модифицированный теорией в балке,

$$\mathcal{W} = -\langle \text{Tr}(m + \Phi)(\log(m + \Phi) - 1) \rangle_{4d} \quad (3.18)$$

где  $m$  – твистованный массивный параметр для диагональной  $U(1)$  симметрии дублета, а  $\Phi$  – скаляр в векторном мультиплете теории в балке. Усреднение  $\langle \dots \rangle_{4d}$  легко сделать используя резольвенту [2]

$$R(x) = \text{Tr} \frac{1}{x + \Phi} = \frac{2x}{\sqrt{(x^2 - 2u)^2 - 4\Lambda^2}}, \quad (3.19)$$

которая дает

$$- \partial_m \mathcal{W} = \log \Lambda^2 + \text{arccosh} \frac{m^2 - 2u}{2\Lambda^2} \quad (3.20)$$

и для больших  $m^2$  и  $2u \approx a^2$  близким к  $2u \approx m^2$

$$- \partial_m \mathcal{W} \approx \log \Lambda^2 + \text{arccosh} \frac{m - a}{\Lambda^2/a}. \quad (3.21)$$

Зеркальное описание в этой области имеет вид

$$\mathcal{W} = (m - a)Y + e^{-Y} - (\Lambda^4/4a^2)e^Y \quad (3.22)$$

Аналогично нашему случаю, пертурбативное 2d описание кирального дублета деформируется членом  $(\Lambda^4/(4a^2))e^Y$ , который появляется из-за инстантонов теории в балке. В данном случае источник этого оператора имеет простую интерпретацию в бранной конструкции этого дефекта [31] и появляется в микроскопическом выводе суперпотенциала [32, 33, 34].

### 3.4 Стенки маргинальной стабильности вблизи разрезов

Теперь мы можем сказать, что происходит с  $W$ -бозонной модой, которая наивно становится безмассовой вблизи  $\nu \approx n$ . Она должна исчезнуть из БПС спектра и распасться на другие стабильный БПС объекты.

Посмотрим еще раз на зеркальный суперпотенциал для нашей локальной модели (3.17) вблизи первого полюса. Вакуумное значение  $Y$

$$Y^{(\pm, n)} = \log \left( \frac{-m \pm \sqrt{m^2 + \frac{4\Lambda^4}{\hbar^2}}}{\frac{2\Lambda^4}{\hbar^2}} \right) + 2\pi i n, \quad n \in \mathbb{Z} \quad (3.23)$$

где  $2\pi i n$  появляется из-за многозначности логарифмической функции. В исходном глобальном описании эти вакуумы отвечает расщепленным уровням вблизи  $\nu \approx 1$  и лежат в двух соседних зонах. Используя методы [35], [36] несложно найти вырожденности БПС солитонов, соединяющих эти два вакуума. Однако, можно заметить, что наш локальный суперпотенциал совпадает с хорошо известным зеркальным описанием для  $CP^1$  сигма-модели

с ненулевой твистованной массой, для которой БПС спектр уже был проанализирован в [12]. В самом деле, твистованный суперпотенциал для  $\mathcal{CP}^1$  имеет вид (см. например [37])

$$\mathcal{W}_{\mathcal{CP}^1}(t, m) = \Sigma(Y_1 + Y_2 - 2t) + \frac{m}{2}(Y_1 - Y_2) + e^{-Y_1} + e^{-Y_2} \quad (3.24)$$

где  $t$  и  $m$  – кэлеров параметр  $\mathcal{CP}^1$  и твистованная масса, соответственно. Отынтегрировав  $\Sigma$  и  $Y_2$  мы получим

$$\mathcal{W}_{\mathcal{CP}^1}(t, m) = m(Y_1 - t) + e^{-Y_1} + e^{-2t}e^{Y_1} \quad (3.25)$$

что совпадает с (3.17) с точностью до константы, если  $e^{-t} = \Lambda^2/\hbar$ .

Переводя выводы [12] в наши обозначения, БПС спектр выглядит следующим образом. В области больших  $m$  имеется единственное состояние соединяющее  $Y^{(\pm, n)}$  и  $Y^{(\pm, n+1)}$  и башня однократных состояний, соединяющих  $Y^{(+, n)}$  и  $Y^{(-, n+k)}$ . Первое имеет массу  $|m|$  и отвечает  $W$ -бозонной моде. Последние в свою очередь отвечают солитонам, связанным с  $k$   $W$ -бозонными модами. В области же малых  $m$  имеется всего два состояния, соединяющих  $Y^{(-, n)}$  и  $Y^{(+, n)}$ . Массы этих частиц

$$M_{sol.} = \left| \frac{1}{2\pi} \frac{\Lambda^2}{\hbar} \left[ 4\sqrt{1 + \frac{\hbar^2 m^2}{4\Lambda^4}} + \frac{\hbar m}{\Lambda^2} \log \left( \frac{m\hbar - \sqrt{4\Lambda^2 + m^2\hbar^2}}{m\hbar + \sqrt{4\Lambda^2 + m^2\hbar^2}} \right) \right] \right|. \quad (3.26)$$

и в пределе  $m \rightarrow 0$

$$M_{sol.} = \left| \frac{2}{\pi} \frac{\Lambda^2}{\hbar} \right| \quad (3.27)$$

На кривой маргинальной стабильности (КМС)  $|m| = 2M_{sol.}$  все состояния области больших  $m$ , включая  $W$ -бозонную моду, распадаются на эти две частицы.

Заметим, что электрический заряд (в единицах элементарного электрического заряда)  $W$ -бозона в 4d-теории равен 2, и электрический заряд всех остальных частиц целый в единицах  $W$ -бозонного. С другой стороны в эффективной 2d теории солитоны имеют заряд 1. Таким образом, эти солитоны не появляются из каких-либо других 4d БПС частиц при редукции, а возникают из-за сгенерированного 2d суперпотенциала.

**Замечание.** Можно задаться вопросом, почему в спектре 2d БПС частиц нет мод 4d частиц с ненулевым магнитным зарядом. По крайней мере в недеформированной теории в области больших  $u$  мы имеем целую башню из дионных частиц, но эффективный суперпотенциал не имеет монодромий ассоциированных с модами этих дионов. Ответ на этот вопрос состоит в том, что, как было показано в [24], тип квантования  $B$  отвечает граничным

условиям Дирихле в калибровочной теории, и в результате поток магнитного поля через  $\mathbf{S}_\infty^1 \times \partial\mathbf{D}_\hbar$ , где  $\mathbf{S}_\infty^1$  – окружность на бесконечности, должен быть равен нулю, что запрещает появляться частицам с ненулевым магнитным зарядом. Аналогично, тип квантования  $A$  и граничные условия Неймана разрешают появляться лишь электрически нейтральным частицам.

Хотя наш анализ был сделан для первой щели  $2a \rightarrow \hbar$ , легко сделать тот же анализ вблизи других щелей при малых  $q$ . Мы опять будем получать пары солитонов с массами

$$M_n = \frac{2\hbar}{\pi} \frac{1}{n!(n-1)!} \left( \frac{\Lambda^2}{\hbar^2} \right)^n \quad (3.28)$$

и  $n$ -ая  $W$ -бозонная мода будет распадаться на эти солитоны вблизи щели. Заметим, что при больших  $n$  мы имеем (3.8)

$$M_n \sim \exp\left(-\frac{2\pi|a_D^M|}{\hbar}\right) \quad (3.29)$$

Однако, наш анализ ограничен рассмотрением предела большого  $\Omega$ -фона  $\Lambda/\hbar \ll 1$  и лишь легких БПС частиц. В частности он ничего не говорит нам о режиме сильной связи в 4d теории  $u \sim \Lambda^2$ . Было бы интересно исследовать эту область, а также глобальную структуру БПС спектра.

## 4 Эффективная двумерная теория поля для $U(N)$

До сих пор мы рассматривали случай  $U(2)$  калибровочной теории. Как было показано в предыдущем разделе, в сильном  $\Omega$ -фоне вблизи разрезов возникает эффективное описание в виде  $\mathcal{N} = (2, 2)$   $\mathbf{CP}^1$  модели. В этом разделе мы обсудим обобщение на случай чистой  $U(N)$  калибровочной теории.

При  $N > 2$  имеется несколько разных видов сингулярностей, параметризуемых набором целых чисел  $(k_1, \dots, k_l)$ , таких что  $k_1 + \dots + k_l = N$ , как было описано в разделе 2. Эти сингулярности возникают при  $a_1 = \dots = a_{k_1}$ ,  $a_{k_1+1} = \dots = a_{k_2}$ , ...,  $a_{k_{l-1}+1} = \dots = a_{k_l}$  и  $(a_a - a_b) \in \mathbf{Z} \setminus \{0\}$ . Наивная вырожденность в этих сингулярностях  $\frac{N!}{k_1! \dots k_l!}$ .

Естественным кандидатом на локальное описание в области этих сингулярностей является  $\mathcal{N} = (2, 2)$  сигма-модель на пространство флагов  $\mathbf{Fl}_{(k_1, \dots, k_l)}$  флагов  $\mathbf{C}^{k_1} \subset \mathbf{C}^{k_1+k_2} \subset \dots \subset \mathbf{C}^N$ . Тривиальной проверкой является тот факт, что наивная вырожденность сингулярностей совпадает с количеством вакуумов в этих сигма-моделях, а количество кулоновских параметров совпадает с количеством параметров твистованных масс. Однако, в этих сигма моделях

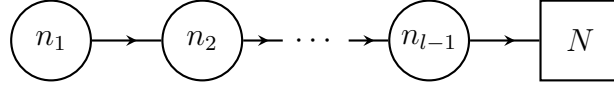


Рис. 2: Колчанная диаграмма для калиброванной линейной сигма-модели, которая дает сигма-модель на пространство флагов при низких энергиях.

мы также можем менять кэлеровы параметры, которых нет в предполагаемом локальном описании. Поэтому их необходимо специализировать в терминах  $\Lambda$  и  $\hbar$ .

Эффективный твистованный суперпотенциал сигма-модели легко получить, если смотреть на сигма-модель как на низко-энергетическое описание линейной калиброванной сигма-модели. Состав полей, имеющийся в этой линейной сигма-модели, удобно изображать колчанной диаграммой (2).

Круглый узел с  $n_s$  внутри на диаграмме отвечает векторному мультиплету для группы  $U(n_s)$ , где  $n_s = k_1 + \dots + k_s$ , а стрелка отвечает киральному мультиплету в бифундаментальном представлении. Последний квадратный узел отвечает фундаментальному киральному мультиплету с глобальной  $U(N)$  симметрией с твистованными параметрами для тора  $m_1, \dots, m_N$ , отвечающими твистованным массам сигма-модели. Кэлеровы параметры сигма-модели отвечают ФИ-параметрам  $t_s$  на каждом узле. Эффективный суперпотенциал имеет следующий вид <sup>4</sup>

$$\begin{aligned}
\mathcal{W}(\sigma, \mathbf{m}, \mathbf{t}) = & \sum_{s=1}^{l-1} \sum_{i=1}^{n_s} t_s \sigma_i^{(s)} - \sum_{i=1}^N \sum_{j=1}^{n_{l-1}} (m_i - \sigma_j^{(l-1)}) \log \frac{(m_i - \sigma_j^{(l-1)})}{e} \\
& - \sum_{s=1}^{l-2} \sum_{i=1}^{n_s} \sum_{j=1}^{n_{s+1}} (\sigma_i^{(s+1)} - \sigma_j^{(s)}) \log \frac{(\sigma_i^{(s+1)} - \sigma_j^{(s)})}{e} \\
& + \sum_{s=1}^{l-1} \sum_{i \neq j}^{n_s} (\sigma_i^{(s)} - \sigma_j^{(s)}) \log \frac{(\sigma_i^{(s)} - \sigma_j^{(s)})}{e}
\end{aligned} \tag{4.1}$$

где  $\sigma_i^{(s)}$  – кулоновские параметры векторного мультиплета на  $s$ -ом узле. Решая вакуумные уравнения

$$\exp \left. \frac{\partial \mathcal{W}(\sigma, \mathbf{m}, \mathbf{t})}{\partial \sigma_i} \right|_{\sigma_*} = 1 \tag{4.2}$$

<sup>4</sup>Здесь мы полагаем равным единице сгенерированный размерный масштаб 2d теории, который легко восстановить по размерности.

и минимизируя по  $\sigma$ , мы получаем эффективный твистованный суперпотенциал сигма-модели  $\mathcal{W}_{SM}(\mathbf{m}, \mathbf{t}) = \mathcal{W}(\sigma_*, \mathbf{m}, \mathbf{t})$ .

Мы ожидаем, что после должной спецификации  $\mathbf{t}$  через  $\Lambda$  и  $\hbar$  результат пересуммирования инстантонной статсуммы рядом с сингулярностью  $\tilde{\mathbf{a}}$  будет даваться  $\mathcal{W}_{SM}(\mathbf{m}, \mathbf{t})$  с  $m_i = \tilde{a}_i - a_i$ . Ниже мы сделаем нетривиальную проверку этого утверждения для случая полных флагов  $\text{Fl}_{(1, \dots, 1)}$  рядом с  $\tilde{a}_i = (i - 1)\hbar$ .

Для этого мы включим вторую  $\Omega$ -деформацию четырехмерной теории с параметром  $\epsilon$ , которая с точки зрения эффективной двумерной теории отвечает  $\Omega$ -фону. Статсумма этой деформированной теории отвечает вихревой статсумме [38, 39, 40, 41] для эффективной теории. В пределе  $\hbar \rightarrow \infty$  мы увидим, что эта вихревая статсумма совпадает с вихревой статсуммой для соответствующей сигма-модели.

Рассмотри Некрасовскую статсумму для чистой  $U(N)$  теории с  $a_s = (s - 1)\hbar - m_s$  в пределе  $\hbar \rightarrow \infty$  с фиксированным  $z = \Lambda^{2N} / \hbar^{2N-2}$ . Характер касательного расслоения в фиксированной точке  $\lambda$

$$\mathcal{T}_\lambda^{pure} = \mathcal{W}\mathcal{V}_\lambda^* + e^{\epsilon+\hbar}\mathcal{V}_\lambda\mathcal{W}^* - (1 - e^\epsilon)(1 - e^\hbar)\mathcal{V}_\lambda\mathcal{V}_\lambda^* \quad (4.3)$$

Легко видеть, что лишь поднабор диаграмм с условием, что диаграмма  $\lambda_s$  имеет максимум  $(N - s)$  строчек, дает ненулевой вклад. В самом деле, если это условие не выполнено, то количество членов в характере содержащих  $\hbar$  в экспоненте становится таким, что после взятия  $\epsilon$ -символа вклад такой диаграммы будет  $o(\hbar^{2-2N})$ .

Введем  $k_i^{(s)} = \lambda_{i, s-i+1}$ ,  $\sigma_i^{(s)} = m_i - \epsilon k_i^{(s)}$  и

$$z_s = \frac{(-1)^N z}{s!(s-1)!(N-s)!(N-s-1)!}$$

Тогда статсумма Некрасова имеет следующий вид

$$Z^{inst.} = \sum_{k_i^{(s)} \geq 0} \left( \prod_{s=1}^{N-1} z_s^{\sum_i k_i^{(s)}} \times \prod_{s=1}^{N-1} \prod_{i=1}^s \prod_{j=1}^{s+1} \frac{1}{(\sigma_j^{(s+1)} - \sigma_i^{(s)}; -\epsilon)_{k_i^{(s)} - k_j^{(s+1)}}} \right. \\ \left. \times \prod_{s=1}^{N-1} \prod_{i \neq j}^N (\sigma_i^{(s)} - \sigma_j^{(s)}; -\epsilon)_{k_j^{(s)} - k_i^{(s)}} \right) \quad (4.4)$$

где

$$(a; \epsilon)_n = \epsilon^n \frac{\Gamma(n + a/\epsilon)}{\Gamma(a/\epsilon)} = a(a + \epsilon) \dots (a + (n - 1)\epsilon)$$

и  $\sigma_i^{(N)} = m_i$ . Это выражение в точности совпадает с вихревой статсуммой для  $\text{Fl}_{(1, 1, \dots)}$  сигма-модели с экспоненцированным ФИ-параметром  $z_i = e^{-t_i}$ .

Первое произведение отвечает вкладу бифундаментальных киральных мультиплетов и фундаментального кирального мультиплета на последнем узле колчана. Второе произведение отвечает вкладу векторных мультиплетов.

В пределе  $\epsilon \rightarrow 0$

$$Z^{inst.} \sim e^{\frac{1}{\epsilon} \mathcal{W}(\sigma, \mathbf{m}, \mathbf{t})} \quad (4.5)$$

и, используя,

$$(a; \epsilon)_{(\sigma-a)/\epsilon} \sim e^{-\frac{1}{\epsilon} (a \log \frac{a}{\epsilon} - a) + \frac{1}{\epsilon} (\sigma \log \frac{\sigma}{\epsilon} - \sigma)} \quad (4.6)$$

мы получаем (4.1) из вихревой статсуммы с точностью до пертурбативного вклада. Последний получается из пертурбативного суперпотенциала  $\mathcal{W}^{pert.}(\mathbf{a}, \Lambda; \hbar)$ .

## 5 Заключение

В данной работе мы анализировали поведение 4d  $\mathcal{N} = 2$  чистой  $U(N)$  калибровочной теории в сильном  $\Omega$ -фоне с граничными условиями Дирихле. Было показано, что в эффективной 2d теории W-бозонная мода в области  $2a \approx \hbar$  вместо того, чтобы стать безмассовой, при пересечении некоторых стенок маргинальной стабильности распадается на солитонные частицы. При  $N = 2$  локальный эффективный твистованный суперпотенциал в этой области был отождествлен с твистованным суперпотенциалом  $\mathbb{C}\mathbb{P}^1$  - модели. Также были сделаны некоторые проверки того, что при  $N > 2$  локальные описания совпадают с сигма-моделями на пространстве флагов.

Результаты нашей работы демонстрируют, что щелевая структура, возникающая в многочастичных квантовых задачах, тесно связана с 2d  $\mathcal{N} = (2, 2)$  сигма-моделями. Было бы интересно проанализировать другие примеры Бете/Калибровочного соответствия на предмет этой связи.

Наш анализ был по большей части локальным: мы рассматривали лишь область непосредственно вблизи разрезов при  $\hbar \gg \Lambda$  и лишь самые легкие БПС частицы. Было бы интересно изучить глобальную структуру БПС спектра эффективной теории и области малых  $\hbar$ .

## Приложения

### A g-функции для чистой $U(2)$ теории

Приведем значения  $g_k^{(n)}$ -функций, появляющихся в основном тексте, для чистой  $U(2)$  теории.

- $n = 1$

$$g_1^{(1)}(z) = -\frac{\sqrt{4z^2+1} - \log\left(\frac{1}{2}(\sqrt{4z^2+1}+1)\right) - 1}{z} \quad (\text{A.1})$$

$$g_2^{(1)}(z) = -\frac{(2-z^2)\sqrt{4z^2+1} - (3z^2+2)}{12z^3} \quad (\text{A.2})$$

$$g_3^{(1)}(z) = -\frac{\frac{127z^4}{288} - \frac{z^2}{16} + \frac{\frac{11z^6}{180} - \frac{599z^4}{1440} + \frac{13z^2}{80} + \frac{1}{20}}{\sqrt{4z^2+1}} - \frac{1}{20}}{z^5} \quad (\text{A.3})$$

$$g_4^{(1)}(z) = -\frac{-\frac{16985z^6}{20736} + \frac{1847z^4}{5184} - \frac{z^2}{64} + \frac{\frac{55z^{10}}{1008} + \frac{235z^8}{567} - \frac{191617z^6}{145152} - \frac{4343z^4}{36288} + \frac{71z^2}{448} + \frac{1}{42}}{(4z^2+1)^{3/2}} - \frac{1}{42}}{z^7} \quad (\text{A.4})$$

- $n = 2$

$$g_1^{(2)}(z) = -\frac{\sqrt{z^2+1} - \log\left(\frac{1}{2}(\sqrt{z^2+1}+1)\right) - 1}{z} \quad (\text{A.5})$$

$$g_2^{(2)}(z) = -\frac{8 - 8\sqrt{z^2+1}}{9z} \quad (\text{A.6})$$

$$g_3^{(2)}(z) = -\frac{-\frac{3355z^2}{1728} - \frac{-\frac{11141z^4}{5184} - \frac{3679z^2}{1728} - \frac{3}{8}}{\sqrt{z^2+1}} - \frac{3}{8}}{z^3} \quad (\text{A.7})$$

- $n = 3$

$$g_1^{(3)}(z) = -\frac{\sqrt{\frac{z^2}{36}+1} - \log\left(\frac{1}{2}\left(\sqrt{\frac{z^2}{36}+1}+1\right)\right) - 1}{z} \quad (\text{A.8})$$

$$g_2^{(3)}(z) = -\frac{3z^2 - 3z^2\sqrt{\frac{z^2}{36}+1}}{16z^3} \quad (\text{A.9})$$

## Список литературы

- [1] Nikita A. Nekrasov. "Seiberg–Witten prepotential from instanton counting". В: *Adv. Theor. Math. Phys.* 7.5 (2003), с. 831—864. DOI: 10.4310/ATMP.2003.v7.n5.a4. arXiv: hep-th/0206161 [hep-th].
- [2] Nikita Nekrasov и Andrei Okounkov. "Seiberg–Witten theory and random partitions". В: (2003). arXiv: hep-th/0306238 [hep-th].
- [3] A. Gorsky и др. "Integrability and Seiberg–Witten exact solution". В: *Phys. Lett.* B355 (1995), с. 466—474. DOI: 10.1016/0370-2693(95)00723-X. arXiv: hep-th/9505035 [hep-th].

- [4] Emil J. Martinec и Nicholas P. Warner. “Integrable systems and supersymmetric gauge theory”. В: *Nucl. Phys.* B459 (1996), с. 97—112. DOI: 10.1016/0550-3213(95)00588-9. arXiv: hep-th/9509161 [hep-th].
- [5] Ron Donagi и Edward Witten. “Supersymmetric Yang-Mills theory and integrable systems”. В: *Nucl. Phys.* B460 (1996), с. 299—334. DOI: 10.1016/0550-3213(95)00609-5. arXiv: hep-th/9510101 [hep-th].
- [6] A. Gorsky и др. “N=2 supersymmetric QCD and integrable spin chains: Rational case  $N(f) < 2N(c)$ ”. В: *Phys. Lett.* B380 (1996), с. 75—80. DOI: 10.1016/0370-2693(96)00480-7. arXiv: hep-th/9603140 [hep-th].
- [7] A. Gorsky, S. Gukov и A. Mironov. “Multiscale N=2 SUSY field theories, integrable systems and their stringy / brane origin. 1.” В: *Nucl. Phys.* B517 (1998), с. 409—461. DOI: 10.1016/S0550-3213(98)00055-8. arXiv: hep-th/9707120 [hep-th].
- [8] A. Gorsky, S. Gukov и A. Mironov. “SUSY field theories, integrable systems and their stringy / brane origin. 2.” В: *Nucl. Phys.* B518 (1998), с. 689—713. DOI: 10.1016/S0550-3213(98)00106-0. arXiv: hep-th/9710239 [hep-th].
- [9] Nikita A. Nekrasov и Samson L. Shatashvili. “Quantum integrability and supersymmetric vacua”. В: *Prog. Theor. Phys. Suppl.* 177 (2009), с. 105—119. DOI: 10.1143/PTPS.177.105. arXiv: 0901.4748 [hep-th].
- [10] Nikita A. Nekrasov и Samson L. Shatashvili. “Supersymmetric vacua and Bethe ansatz”. В: *Nucl. Phys. Proc. Suppl.* 192-193 (2009), с. 91—112. DOI: 10.1016/j.nuclphysbps.2009.07.047. arXiv: 0901.4744 [hep-th].
- [11] Nikita A. Nekrasov и Samson L. Shatashvili. “Quantization of Integrable Systems and Four Dimensional Gauge Theories”. В: *Proceedings, 16th International Congress on Mathematical Physics (ICMP09): Prague, Czech Republic, August 3-8, 2009*. 2009, с. 265—289. DOI: 10.1142/9789814304634\_0015. arXiv: 0908.4052 [hep-th]. URL: <https://inspirehep.net/record/829640/files/arXiv:0908.4052.pdf>.
- [12] N. Dorey. “The BPS spectra of two-dimensional supersymmetric gauge theories with twisted mass terms”. В: *JHEP* 11 (1998), с. 005. DOI: 10.1088/1126-6708/1998/11/005. arXiv: hep-th/9806056 [hep-th].
- [13] M. Shifman, A. Vainshtein и Roman Zwicky. “Central charge anomalies in 2-D sigma models with twisted mass”. В: *J. Phys.* A39 (2006), с. 13005—13024. DOI: 10.1088/0305-4470/39/41/S13. arXiv: hep-th/0602004 [hep-th].

- [14] Matteo Beccaria. “On the large  $\Omega$ -deformations in the Nekrasov–Shatashvili limit of  $\mathcal{N} = 2^*$  SYM”. B: *JHEP* 07 (2016), c. 055. DOI: 10.1007/JHEP07(2016)055. arXiv: 1605.00077 [hep-th].
- [15] Ovidiu Costin. *Asymptotics and Borel summability*. CRC press, 2008.
- [16] Saebyeok Jeong. “Splitting of surface defect partition functions and integrable systems”. B: (2017). arXiv: 1709.04926 [hep-th].
- [17] Sergei L. Lukyanov. “Critical values of the Yang–Yang functional in the quantum sine–Gordon model”. B: *Nucl. Phys.* B853 (2011), c. 475—507. DOI: 10.1016/j.nuclphysb.2011.07.028. arXiv: 1105.2836 [hep-th].
- [18] A. Gorsky, A. Milekhin и N. Sopenko. “Bands and gaps in Nekrasov partition function”. B: *JHEP* 01 (2018), c. 133. DOI: 10.1007/JHEP01(2018)133. arXiv: 1712.02936 [hep-th].
- [19] Gregory W. Moore, Nikita Nekrasov и Samson Shatashvili. “Integrating over Higgs branches”. B: *Commun. Math. Phys.* 209 (2000), c. 97—121. DOI: 10.1007/PL00005525. arXiv: hep-th/9712241 [hep-th].
- [20] Anton A. Gerasimov и Samson L. Shatashvili. “Two-dimensional gauge theories and quantum integrable systems”. B: *Proceedings of Symposia in Pure Mathematics, May 25–29 2007, University of Augsburg, Germany*. 2007. arXiv: 0711.1472 [hep-th]. URL: <http://inspirehep.net/record/767222/files/arXiv:0711.1472.pdf>.
- [21] Anton A. Gerasimov и Samson L. Shatashvili. “Higgs Bundles, Gauge Theories and Quantum Groups”. B: *Commun. Math. Phys.* 277 (2008), c. 323—367. DOI: 10.1007/s00220-007-0369-1. arXiv: hep-th/0609024 [hep-th].
- [22] Nikita Nekrasov. “BPS/CFT correspondence: non-perturbative Dyson–Schwinger equations and qq-characters”. B: *JHEP* 03 (2016), c. 181. DOI: 10.1007/JHEP03(2016)181. arXiv: 1512.05388 [hep-th].
- [23] Nikita Nekrasov и Vasily Pestun. “Seiberg–Witten geometry of four dimensional  $\mathcal{N}=2$  quiver gauge theories”. B: (2012). arXiv: 1211.2240 [hep-th].
- [24] Nikita Nekrasov и Edward Witten. “The Omega Deformation, Branes, Integrability, and Liouville Theory”. B: *JHEP* 09 (2010), c. 092. DOI: 10.1007/JHEP09(2010)092. arXiv: 1002.0888 [hep-th].
- [25] Nikita Nekrasov, Vasily Pestun и Samson Shatashvili. “Quantum geometry and quiver gauge theories”. B: (2013). arXiv: 1312.6689 [hep-th].

- [26] Marco Matone. “Instantons and recursion relations in  $N=2$  SUSY gauge theory”. В: *Phys. Lett.* B357 (1995), с. 342—348. DOI: 10.1016/0370-2693(95)00920-G. arXiv: hep-th/9506102 [hep-th].
- [27] Rainald Flume и др. “Matone’s relation in the presence of gravitational couplings”. В: *JHEP* 04 (2004), с. 008. DOI: 10.1088/1126-6708/2004/04/008. arXiv: hep-th/0403057 [hep-th].
- [28] A. Gorsky и A. Milekhin. “RG-Whitham dynamics and complex Hamiltonian systems”. В: *Nucl. Phys.* B895 (2015), с. 33—63. DOI: 10.1016/j.nuclphysb.2015.03.028. arXiv: 1408.0425 [hep-th].
- [29] Gökçe Başar и Gerald V. Dunne. “Resurgence and the Nekrasov-Shatashvili limit: connecting weak and strong coupling in the Mathieu and Lamé systems”. В: *JHEP* 02 (2015), с. 160. DOI: 10.1007/JHEP02(2015)160. arXiv: 1501.05671 [hep-th].
- [30] Davide Gaiotto, Sergei Gukov и Nathan Seiberg. “Surface Defects and Resolvents”. В: *JHEP* 1309 (2013), с. 070. DOI: 10.1007/JHEP09(2013)070. arXiv: 1307.2578.
- [31] Davide Gaiotto. “Surface Operators in  $N = 2$  4d Gauge Theories”. В: *JHEP* 1211 (2012), с. 090. DOI: 10.1007/JHEP11(2012)090. arXiv: 0911.1316 [hep-th].
- [32] A. Gorsky и др. “Surface defects and instanton–vortex interaction”. В: *Nucl. Phys.* B920 (2017), с. 122—156. DOI: 10.1016/j.nuclphysb.2017.04.010. arXiv: 1702.03330 [hep-th].
- [33] S. K. Ashok и др. “Surface operators, chiral rings and localization in  $\mathcal{N} = 2$  gauge theories”. В: *JHEP* 11 (2017), с. 137. DOI: 10.1007/JHEP11(2017)137. arXiv: 1707.08922 [hep-th].
- [34] S. K. Ashok и др. “Modular and duality properties of surface operators in  $N=2^*$  gauge theories”. В: *JHEP* 07 (2017), с. 068. DOI: 10.1007/JHEP07(2017)068. arXiv: 1702.02833 [hep-th].
- [35] Sergio Cecotti и Cumrun Vafa. “On classification of  $N=2$  supersymmetric theories”. В: *Commun. Math. Phys.* 158 (1993), с. 569—644. DOI: 10.1007/BF02096804. arXiv: hep-th/9211097 [hep-th].
- [36] Davide Gaiotto, Gregory W. Moore и Andrew Neitzke. “Wall-Crossing in Coupled 2d-4d Systems”. В: *JHEP* 12 (2012), с. 082. DOI: 10.1007/JHEP12(2012)082. arXiv: 1103.2598 [hep-th].
- [37] Kentaro Hori и Cumrun Vafa. “Mirror symmetry”. В: (2000). arXiv: hep-th/0002222 [hep-th].

- [38] Sergey Shadchin. "On F-term contribution to effective action". В: *JHEP* 08 (2007), с. 052. DOI: 10.1088/1126-6708/2007/08/052. arXiv: hep-th/0611278 [hep-th].
- [39] Nikita A. Nekrasov. "Instanton partition functions and M-theory". В: *Proceedings, 15th International Seminar on High Energy Physics (Quarks 2008): Sergiev Posad, Russia. May 23-29, 2008*. 2008. URL: [http://quarks.inr.ac.ru/2008/proceedings/p5\\_FT/nekrasov.pdf](http://quarks.inr.ac.ru/2008/proceedings/p5_FT/nekrasov.pdf).
- [40] Tudor Dimofte, Sergei Gukov и Lotte Hollands. "Vortex Counting and Lagrangian 3-manifolds". В: *Lett. Math. Phys.* 98 (2011), с. 225—287. DOI: 10.1007/s11005-011-0531-8. arXiv: 1006.0977 [hep-th].
- [41] Nima Doroud и др. "Exact Results in D=2 Supersymmetric Gauge Theories". В: *JHEP* 05 (2013), с. 093. DOI: 10.1007/JHEP05(2013)093. arXiv: 1206.2606 [hep-th].